

ПЕРЕМЕЩЕНИЕ МАТЕРИАЛА В ТРЯСИЛЬНЫХ МАШИНАХ С НИЖНИМ ГРЕБЕННЫМ ПОЛЕМ С УЧЕТОМ ВЛИЯНИЯ УЧАСТКОВ СЛОЯ, НЕ ВЗАИМОДЕЙСТВУЮЩИХ С ИГЛАМИ*

И.А. ШИРШОВ

(Костромской государственной технологической университет)

Разработка математической модели процесса трясения в машинах с нижним гребенным полем является актуальной задачей, так как ее решение позволит вести анализ влияния различных конструктивных параметров на протекание процесса трясения.

В работах, посвященных исследованию процесса трясения [1...3], упоминается о влиянии участков слоя, не взаимодействующих с иглами, на перемещения материала в процессе обработки, однако количественной оценки данного явления не приводится.

Задачей настоящей работы является определение перемещений материала с учетом влияния участков слоя, не взаимодействующих с иглами.

Принятые допущения:

– плотность материала, расположенного на колосниковой решетке трясильной машины одинакова в продольном и поперечном направлении;

– слой разделен на одинаковые по размерам участки, взаимодействующие с иглами, и участки между иглами, перемещающиеся под действием упругих деформаций слоя (рис. 1...3, где L_v – расстояние между гребенными валиками; W_v – шаг игл; h_s – толщина слоя; M1, M3 – центры масс участков слоя, не взаимодействующих с иглами; M2, M4 – центры масс участков слоя, взаимодействующих с иглами; рис. 1 – схема деления слоя на участки: 1 – игла, 2 – плоскость решетки, рис. 2 – силы, действующие на участок слоя M2, рис. 3 – на участке M1 и M3);

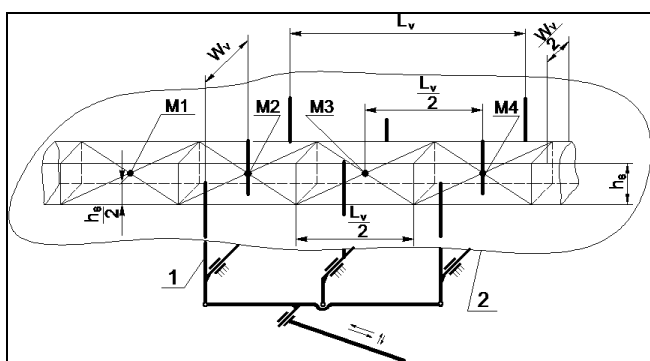


Рис. 1

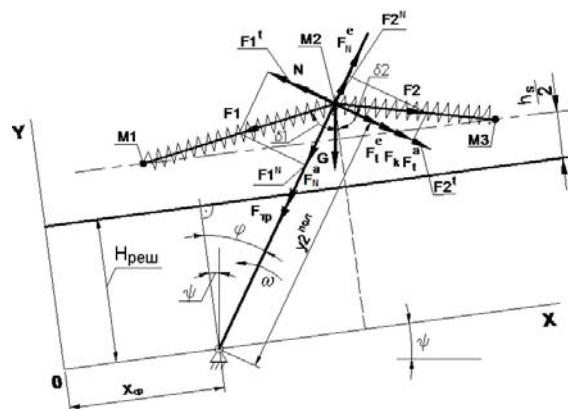


Рис. 2

* Работа выполнена под руководством проф., докт. техн. наук В.А. Дьячкова.

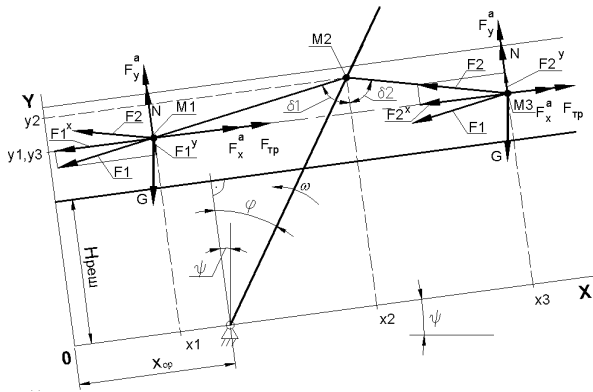


Рис. 3

– центры масс участков слоя в состоянии покоя располагаются: в поперечном направлении – по оси иглы, по высоте – на уровне середины толщины слоя h_s , в продольном направлении: а) для участков слоя, взаимодействующих с иглами – совпадают с осью иглы, б) для участков слоя, не взаимодействующих с иглами – на расстоянии, равном половине расстояния между осями гребенных валиков. В начальный момент контакта с иглой, состояние слоя принимается ненапряженным. Расстояния между центрами масс $M1$, $M2$ и $M3$, $M2 - L_0$ считаются эталонными при расчете сил упругой деформации в последующих вычислениях.

$$L_0 = \frac{L_v}{2}; \quad (1)$$

$$\frac{d^2 y_2^{\text{пол}}}{dt^2} - 2f\omega \frac{dy_2^{\text{пол}}}{dt} + (f^{\text{игл}} \varepsilon - \omega^2) y_2^{\text{пол}} = -f^{\text{игл}} g \sin(\varphi) - g \cos(\varphi) - f^{\text{игл}} \frac{\rho_v CS (\omega y_2^{\text{пол}})^2}{2m} - \frac{\rho_v CS \left(\frac{dy_2^{\text{пол}}}{dt} \right)^2}{2m} - \frac{F1^N}{m} - \frac{F2^N}{m} - f^{\text{игл}} \frac{F1^t}{m} + f^{\text{игл}} \frac{F2^t}{m}, \quad (2)$$

где $y_2^{\text{пол}}$ – смещение центра масс $M2$ от оси гребенного валика; ε – угловое ускорение иглы, c^{-2} ; ω – угловая скорость иглы, c^1 ; φ – угол отклонения иглы от вертикального положения, рад; $f^{\text{игл}}$ – коэффициент трения волокна об иглу; ρ_v – плотность воздуха, $кг/м^3$; m – масса выделенного участка слоя, $кг$; S – площадь миделевого сечения комочка, $м^2$; $F1^N, F2^N$ – проекция сил растяжения-сжатия слоя на нормаль к игле, $Н$;

– силы сцепления материала в слое представляются как силы упругого растяжения-сжатия материала между центрами масс участков слоя;

– движущей силой для слоя $M1$, $M2$, $M3$ является воздействие иглы на центр масс участка слоя $M2$. Центры масс $M1$ и $M3$ перемещаются под действием упругой связи с центром масс $M2$.

Составим дифференциальные уравнения движения центров масс $M2$ с учетом влияния участков слоя, не взаимодействующих с иглами $M1$ и $M3$.

Рассмотрим рис.2, где показаны и обозначены силы, действующие на центр масс участка слоя $M2$: G – вес; N – реакция иглы; $F_{\text{тр}}$ – трения; F_k – Кориолиса; $F1, F2$ – упругой деформации участка слоя между точками $M1$ и $M2$, $M3$ и $M2$; F_N^e, F_t^e – нормальная, тангенциальная составляющая инерции (проекции); F_N^a, F_t^a – аэродинамического сопротивления (проекции). Перемещения, в направлении, перпендикулярном игле, принимаются нулевыми, так как участок слоя насажен на иглу. Для центра масс $M2$ используем полярную систему координат, жестко связанную с иглой. Смещение центра масс $M2$ от оси гребенного валика $y_2^{\text{пол}}$ будет определяться уравнением:

$F1^t, F2^t$ – проекция сил растяжения-сжатия слоя на ось иглы, $Н$; S – безразмерный коэффициент аэродинамического сопротивления, зависящий от формы тела (участка слоя отходов трепания).

Расчет координаты $y_2^{\text{пол}}$ производится средствами программы Mathcad, для чего уравнение (2) сводится к системе уравнений

$$\left\{ \begin{array}{l} \frac{dy1^{пол}}{dt} = -f^{игл} g \sin(\varphi) - g \cos(\varphi) - f^{игл} \frac{\rho_b CS(\omega y2^{пол})^2}{2m} - 2f\omega y1^{пол} + (f^{игл} \varepsilon - \omega^2) y2^{пол}, \\ - \frac{\rho_b CS(y1^{пол})^2}{2m} - \frac{F1^N}{m} - \frac{F2^N}{m} - f^{игл} \frac{F1^t}{m} + f^{игл} \frac{F2^t}{m}, \\ \frac{dy2^{пол}}{dt} = y1^{пол}. \end{array} \right. \quad (3)$$

В декартовой системе координат XOY $-y2 = y2^{пол} \cos\varphi$, $x2 = y2^{пол} \sin\varphi$.

Рассмотрим взаимодействие центров масс участков слоя M1 и M3 с M2 (рис. 3). Здесь обозначены силы, действующие на участок слоя M1, M3: G – вес; N – нормальной реакции решетки; $F_{тр}$ – трения слоя о решетку; $F1^x, F1^y, F2^x, F2^y$ – упругой

деформации участка слоя между точками M1 и M2, а также M3 и M2, соответственно (проекции); F_a^x, F_a^y – аэродинамического сопротивления (проекции).

Для центров масс M1, M3 дифференциальные уравнения движения запишутся в виде:

$$m \frac{d^2 y}{dt^2} = -G \cos(\psi) - F_a^y + F1^y + F2^y, \quad (4)$$

$$m \frac{d^2 x}{dt^2} = G \sin(\psi) - f^{пеш} N - F_a^x + F1^x + F2^x. \quad (5)$$

Расчет координат производится средствами программы Mathcad, для чего

уравнения (4), (5) сводятся к системам уравнений:

$$\left\{ \begin{array}{l} \frac{dy'}{dt} = \left(-g \cos(\psi) - \frac{\rho_b CS(y')^2}{2m} + \frac{F1^y}{m} + \frac{F2^y}{m} \right), \\ \frac{dy}{dt} = y'; \end{array} \right. \quad (6)$$

$$\left\{ \begin{array}{l} \frac{dx'}{dt} = \left(g \sin(\psi) - f^{пеш} \frac{N}{m} - \frac{\rho_b CS(x')^2}{2 \cdot m} + \frac{F1^x}{m} + \frac{F2^x}{m} \right), \\ \frac{dx}{dt} = x'. \end{array} \right. \quad (7)$$

Направление действия сил аэродинамического сопротивления и трения принимается противоположным движению материала.

Силы, которые действуют на выделенный элемент слоя со стороны соседних, определяются следующим образом.

Расстояния между точками M1, M2 и M2, M3 определяются по их координатам:

$$L1 = \sqrt{(y2 - y1)^2 + (x2 - x1)^2}, \quad (9)$$

$$L2 = \sqrt{(y2 - y3)^2 + (x3 - x2)^2}. \quad (10)$$

Тогда приращения расстояний между точками в сравнении с расстоянием, при котором слой находится в ненапряженном состоянии L_0 , запишутся в виде:

$$\Delta L1 = L1 - L_0, \quad (11)$$

$$\Delta L2 = L2 - L_0. \quad (12)$$

По приращениям определяются силы упругости между участками слоя:

$$F1 = c1|\Delta L|^{d1}, \quad (13)$$

$$F2 = -c2|\Delta L|^{d2}. \quad (14)$$

Если приращение положительно, применяются коэффициенты растяжения $c1$ и $d1$, если отрицательно – коэффициенты сжатия $c2$ и $d2$.

Вид зависимости для вычисления сил упругости принят из [2], коэффициенты $c1$, $c2$, $d1$, $d2$ определены нами опытным путем.

Силы упругости, действующие перпендикулярно игле, между центрами масс $M1$, $M2$ и $M2$, $M3$ определяются соответственно

$$F1^t = F1 \sin(\delta1 + \varphi), \quad (15)$$

$$F2^t = F2 \sin(\delta2 - \varphi), \quad (16)$$

а действующие параллельно игле соответственно:

$$F1^N = F1 \cos(\delta1 + \varphi), \quad (17)$$

$$F2^N = F2 \cos(\delta2 - \varphi). \quad (18)$$

Проекция сил упругости на ось X между центрами масс $M1$, $M2$ и $M2$, $M3$ определяются из выражений

$$F1^x = F1 \sin(\delta1), \quad (19)$$

$$F2^t = F2 \sin(\delta2). \quad (20)$$

Проекция сил упругости на ось Y между центрами масс $M1$, $M2$ и $M2$, $M3$ определяются из выражений

$$F1^y = F1 \cos(\delta1), \quad (21)$$

$$F2^y = F2 \cos(\delta2). \quad (22)$$

Решая совместно системы уравнений (3), (6), (7) можно рассчитать перемещения слоя

вдоль решетки, силы упругости в слое при различных параметрах процесса трясения.

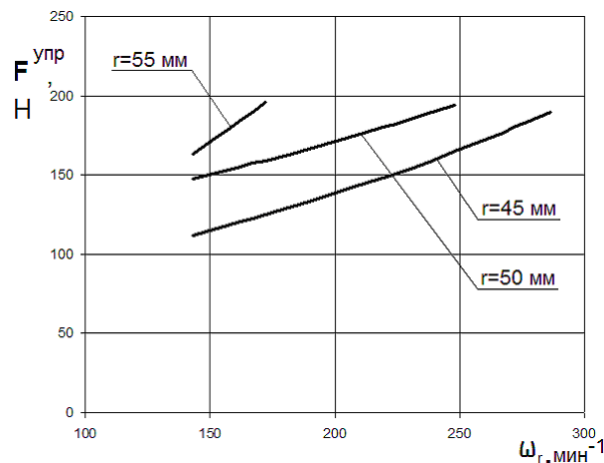


Рис. 4

Например, на рис. 4 показано изменение сил упругости между участками слоя при различных значениях радиуса кривошипа (r) и частоты вращения ведущего вала машины (ω_r). Из рис.4 видно, что вычисления прекращаются при значениях сил упругих деформаций 190 Н, когда происходит сход материала с иглы. Это может быть критерием нарушения нормального протекания процесса трясения, так как в результате схода материала с иглы в слое появляются разрывы.

ВЫВОДЫ

1. Разработанная математическая модель взаимодействия игл гребенных валиков с обрабатываемым материалом позволяет проанализировать перемещения слоя и силы упругих деформаций материала при различных параметрах процесса трясения.

2. Анализ сил упругих деформаций в слое показал, что существует ограничение интенсивности воздействий со стороны гребенных валиков, проявляющееся в виде нарушения структуры слоя. Из этого условия должны выбираться параметры приводного механизма машины, например, частота вращения ведущего вала машины, радиус кривошипа, длины поводка и иглы.

ЛИТЕРАТУРА

1. *Тарунин Ю.Н.* Исследование движения материала в трясильных машинах типа ТГ-135 // Изв. вузов. Технология текстильной промышленности. – 1965, №2.
2. *Дьячков В.А.* Проектирование машин для первичной обработки лубяных волокон: Учебник. – 2-е изд., перераб. и доп. – Кострома: Изд-во Костром. гос. технол. ун-та, 2006. – 232.
3. *Ипатов А.М.* Теоретические основы механической обработки стеблей лубяных культур. Учебное пособие для вузов. – М.: Легпромбытиздат, 1989.

Рекомендована кафедрой технологии производства льняного волокна. Поступила 30.06.08.
